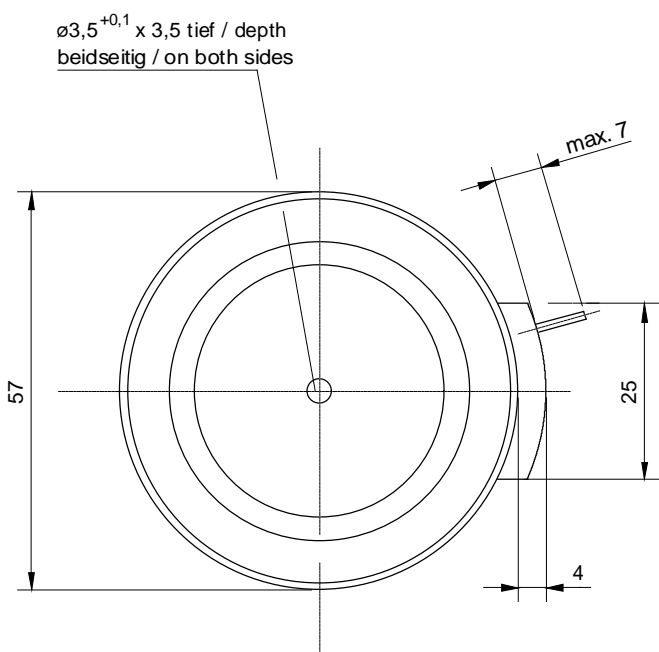
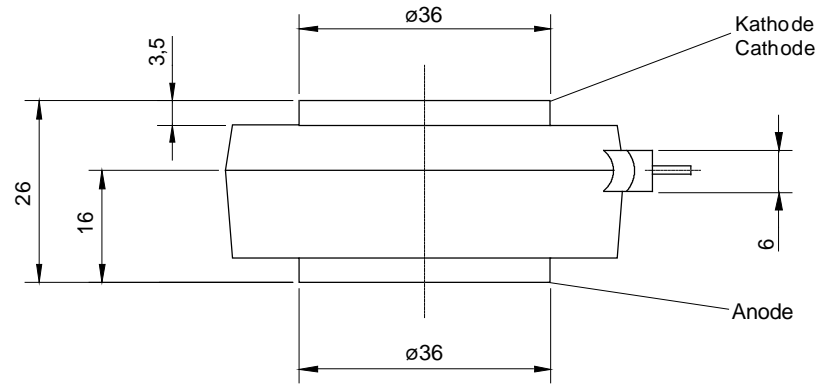


European Power-  
Semiconductor and  
Electronics Company  
GmbH + Co. KG

# Leistungsgleichrichterdioden Power Rectifier Diodes D 849 N

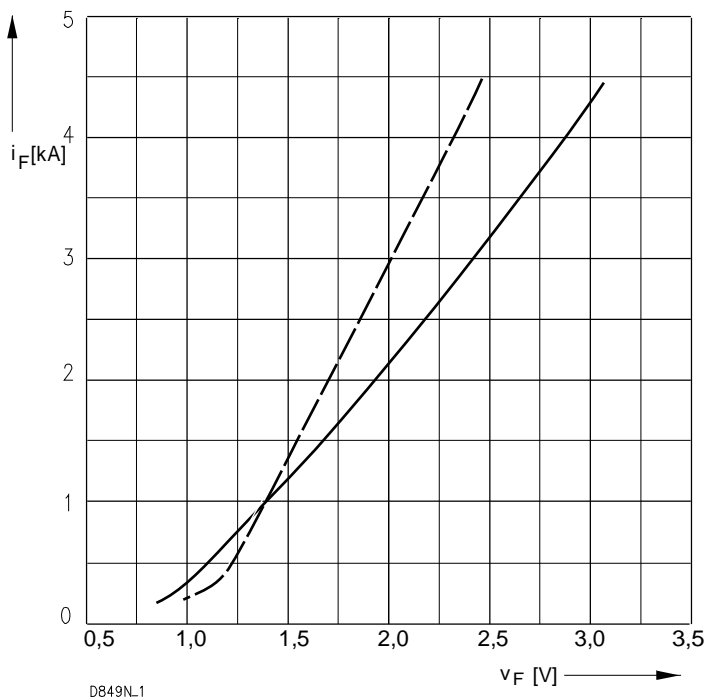


## D 849 N

<b>Elektrische Eigenschaften</b>	<b>Electrical properties</b>					
<b>Höchstzulässige Werte</b>	<b>Maximum rated values</b>					
Periodische Spitzensperrspannung	repetitive peak reverse voltage	$t_{vj} = -40^{\circ}\text{C} \dots t_{vj \max}$	$V_{RRM}$	2800, 3200	V	
				3600, 4000 *	V	
Stoßspitzensperrspannung	non-repetitive peak reverse voltage	$t_{vj} = +25^{\circ}\text{C} \dots t_{vj \max}$	$V_{RSM} = V_{RRM}$	+ 100	V	
Durchlaßstrom-Grenzeffektivwert	RMS forward current		$I_{FRMSM}$	1790	A	
Dauergrenzstrom	mean forward current	$t_c = 100^{\circ}\text{C}$ $t_c = 64^{\circ}\text{C}$	$I_{FAVM}$	850	A	
Stoßstrom-Grenzwert	surge forward current	$t_{vj} = 25^{\circ}\text{C}, t_p = 10 \text{ ms}$ $t_{vj} = t_{vj \max}, t_p = 10 \text{ ms}$	$I_{FSM}$	1140	A	
Grenzlastintegral	$I^2 t$ -value	$t_{vj} = 25^{\circ}\text{C}, t_p = 10 \text{ ms}$ $t_{vj} = t_{vj \max}, t_p = 10 \text{ ms}$	$I^2 t$	15,4	kA	
				12,8	kA	
				1186	$\text{kA}^2\text{s}$	
				819	$\text{kA}^2\text{s}$	
<b>Charakteristische Werte</b>	<b>Characteristic values</b>					
Durchlaßspannung	on-state voltage	$t_{vj} = t_{vj \max}, i_F = 3,5 \text{ kA}$	$V_T$	max.	2,62	V
Schleusenspannung	threshold voltage	$t_{vj} = t_{vj \max}$	$V_{T(TO)}$		0,84	V
Ersatzwiderstand	slope resistance	$t_{vj} = t_{vj \max}$	$r_T$		0,485	$\text{m}\Omega$
Sperrstrom	reverse current	$t_{vj} = t_{vj \max}, V_R = V_{RRM}$	$i_R$	max.	50	mA
<b>Thermische Eigenschaften</b>	<b>Thermal properties</b>					
Innerer Widerstand	thermal resistance, junction to case	beidseitig/two-sided, $\Theta = 180^{\circ} \text{ sin}$ beidseitig/two sided, DC Anode/anode, $\Theta = 180^{\circ} \text{ sin}$ Anode/anode, DC Kathode/cathode, $\Theta = 180^{\circ} \text{ sin}$ Kathode/cathode, DC	$R_{thJC}$	max.	0,038	$^{\circ}\text{C}/\text{W}$
				max.	0,035	$^{\circ}\text{C}/\text{W}$
				max.	0,064	$^{\circ}\text{C}/\text{W}$
				max.	0,061	$^{\circ}\text{C}/\text{W}$
				max.	0,085	$^{\circ}\text{C}/\text{W}$
				max.	0,082	$^{\circ}\text{C}/\text{W}$
Übergangs-Wärmewiderstand	thermal resistance, case to heatsink	beidseitig /two-sided einseitig /single-sided	$R_{thCK}$	max.	0,005	$^{\circ}\text{C}/\text{W}$
				max.	0,010	$^{\circ}\text{C}/\text{W}$
Höchstzul. Sperrsichttemperatur	max. junction temperature		$t_{vj \max}$		160	$^{\circ}\text{C}$
Betriebstemperatur	operating temperature		$t_{c op}$		-40...+150	$^{\circ}\text{C}$
Lagertemperatur	storage temperature		$t_{stg}$		-40...+150	$^{\circ}\text{C}$
<b>Mechanische Eigenschaften</b>	<b>Mechanical properties</b>					
Si-Element mit Druckkontakt	Si-pellet with pressure contact	$\emptyset = 38 \text{ mm}$				
Anpreßkraft	clamping force	Gehäuseform/case design T	F		10...24	kN
Gewicht	weight		G	typ.	280	g
Kriechstrecke	creepage distance				36	mm
Feuchteklass	humidity classification	DIN 40040				C
Schwingfestigkeit	vibration resistance	$f = 50 \text{ Hz}$			50	$\text{m/s}^2$
Maßbild	outline					Seite/page

\* Bitte Liefertermin erfragen /Delivery on request

# D 849 N



Bild/Fig. 1  
Grenzdurchlaßkennlinie  
Limiting forward characteristic  $i_f(v_F)$

—  $t_j = 160^\circ\text{C}$   
- - -  $t_j = 25^\circ\text{C}$

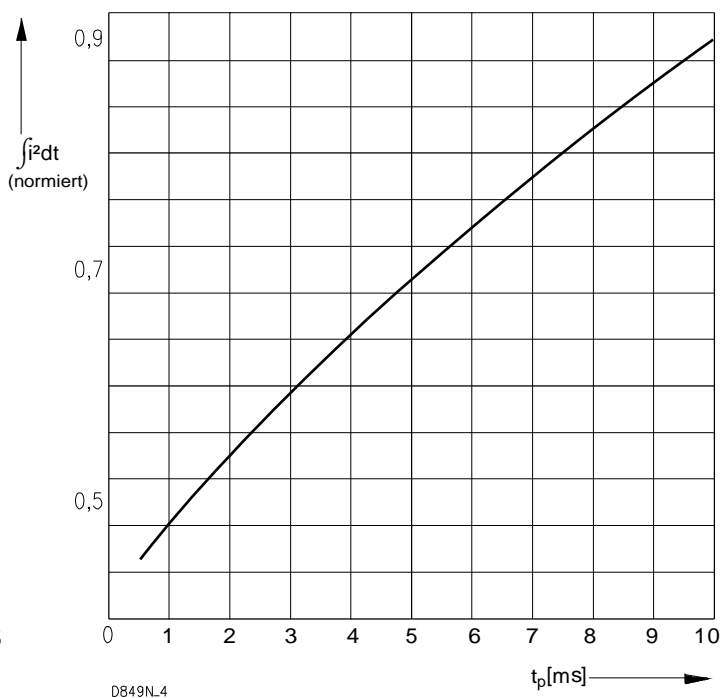


Bild / Fig. 2  
Normiertes Grenzlastintegral / Normalized  $i^2 dt$   
 $\int i^2 dt = f(t)$

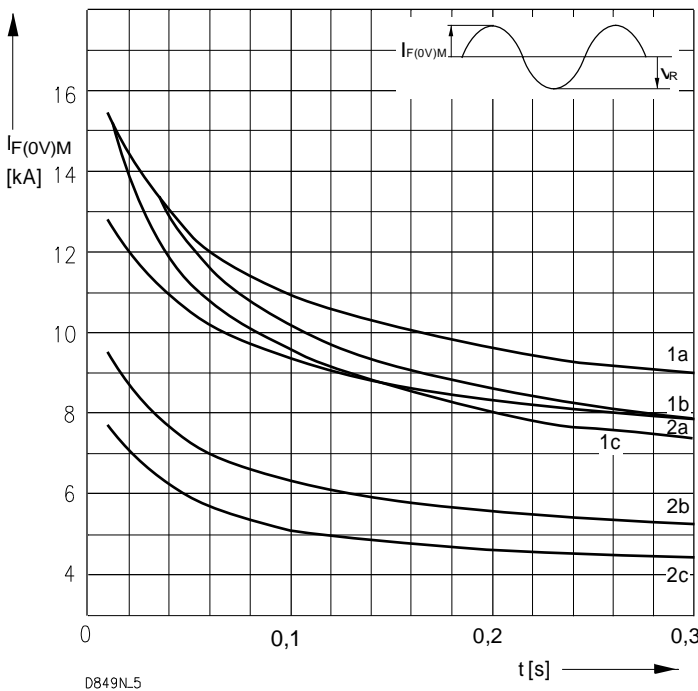


Bild / Fig. 3  
Grenzstrom / Maximum overload forward current  $I_F(0V)M = f(t)$

1 -  $\text{FAV}(\text{vor}) = 0 \text{ A}; \quad t_j = t_c = 25^\circ\text{C}$   
2 -  $\text{FAV}(\text{vor}) = 850 \text{ A}; \quad \epsilon = 100^\circ\text{C}; \quad t_j = 160^\circ\text{C}$   
a -  $v_R \leq 50 \text{ V}$   
b -  $v_R = 0.5 \text{ VR}_{RM}$   
c -  $v_R = 0.8 \text{ VR}_{RM}$

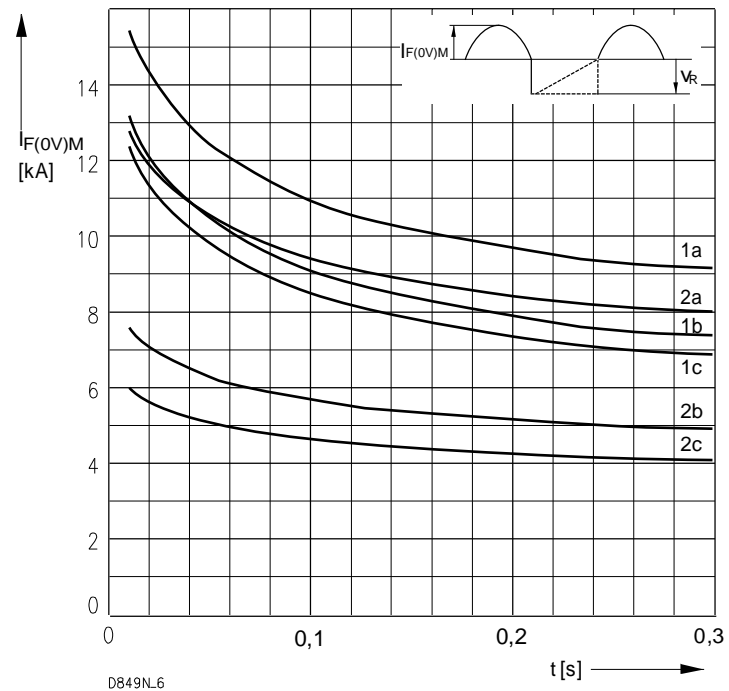


Bild / Fig. 4  
Grenzstrom / Maximum overload forward current  $I_F(0V)M = f(t)$

1 -  $\text{FAV}(\text{vor}) = 0 \text{ A}; \quad t_j = t_c = 25^\circ\text{C}$   
2 -  $\text{FAV}(\text{vor}) = 850 \text{ A}; \quad \epsilon = 100^\circ\text{C}; \quad t_j = 160^\circ\text{C}$   
a -  $v_R \leq 50 \text{ V}$   
b -  $v_R = 0.5 \text{ VR}_{RM}$   
c -  $v_R = 0.8 \text{ VR}_{RM}$

# D 849 N

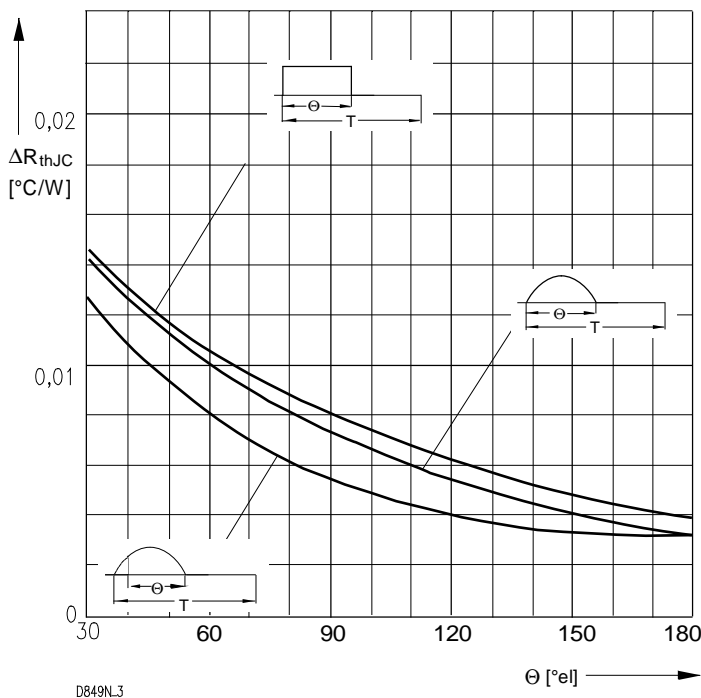


Bild / Fig. 5  
Differenz zwischen den Wärmewiderständen  
für Pulsstrom und DC  
Difference between the values of thermal resistance for  
pulse current and DC  
Parameter: Stromkurvenform / Current waveform

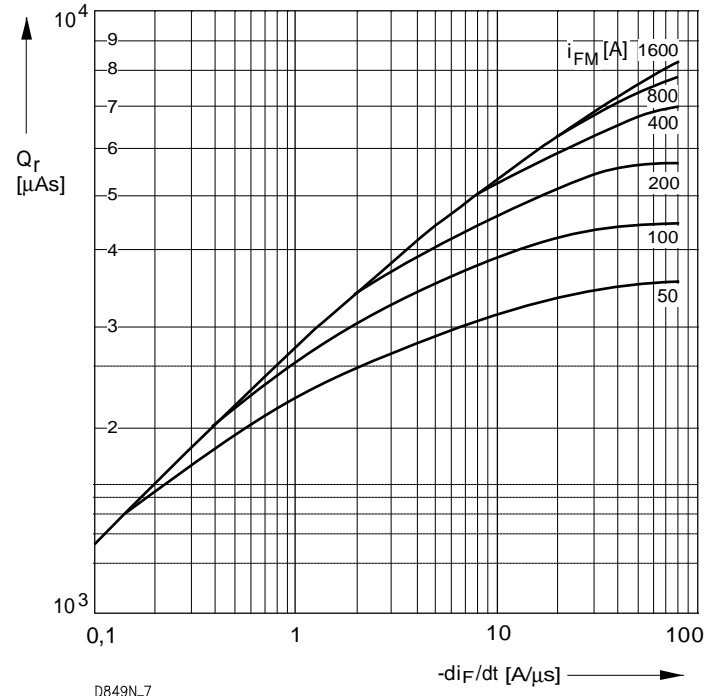


Bild / Fig. 6  
Sperrverzögerungsladung / Recovered charge  $Q(-di_F/dt)$   
 $t_{vj} = t_{vj\max}$ ;  $VR \leq 0,5 V_{RRM}$ ;  $V_{RM} = 0,8 V_{RRM}$   
Beschaltung / Snubber:  $C = 1 \mu\text{F}$ ;  $R = 3,9 \Omega$   
Parameter: Durchlaßstrom / Forward current  $i_{FM}$

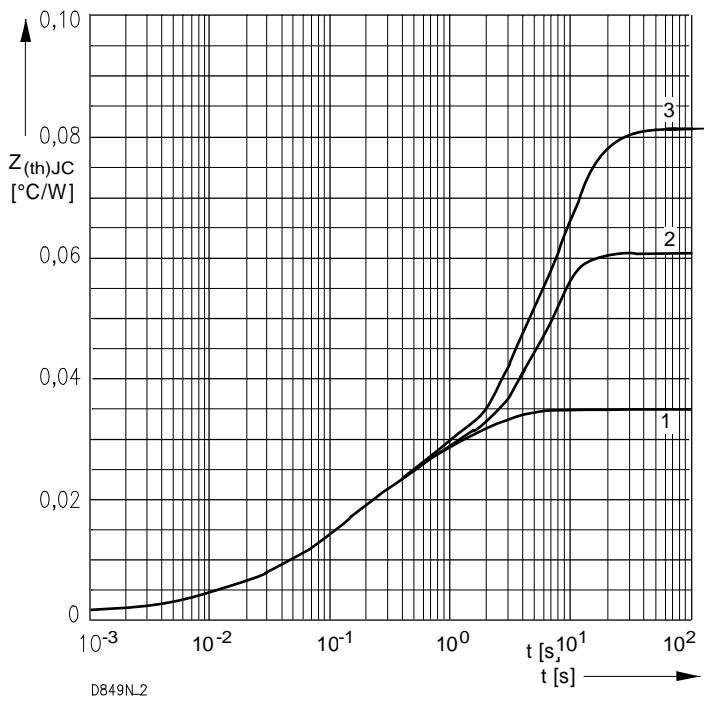


Bild / Fig. 7  
Transienter innerer Wärmewiderstand  
Transient thermal impedance  $Z = f(t)$ , DC  
1 - Beidseitige Kühlung / Two-sided cooling  
2 - Anodenseitige Kühlung / Anode-sided cooling  
3 - Kathodenseitige Kühlung / Cathode-sided cooling

Analytische Elemente des transienten Wärmewiderstandes  $Z_{thJC}$  für DC  
Analytical elements of transient thermal impedance  $Z_{thJC}$  for DC

Kühlg. Cooling	Pos. n	1	2	3	4	5	6	7
1	$R_{thn}$ $^{\circ}\text{C}/\text{W}$	0,00123	0,00397	0,0041	0,0153	0,0104		
	$\tau_n$ [s]	0,00152	0,00932	0,0708	0,251	1,79		
2	$R_{thn}$ $^{\circ}\text{C}/\text{W}$	0,00134	0,00466	0,0174	0,0376			
	$\tau_n$ [s]	0,00159	0,0113	0,177	6,25			
3	$R_{thn}$ $^{\circ}\text{C}/\text{W}$	0,00133	0,00457	0,0165	0,0596			
	$\tau_n$ [s]	0,00159	0,0111	0,169	7,31			

- 1 - Beidseitige Kühlung / Two-sided cooling
- 2 - Anodenseitige Kühlung / Anode-sided cooling
- 3 - Kathodenseitige Kühlung / Cathode-sided cooling

Analytische Funktion / Analytical function

$$Z_{thJC} = \sum_{n=1}^{n_{\max}} R_{thn} (1 - \text{EXP}(-t/\tau_n))$$